

Fig. 5.12a - Diagrama **Força** (eixo y - kN) x **Deslocamento** (eixo x - mm) do compósito C1-40, com os fatores  $PCS_m$  e os índices de tenacidade  $I$ .

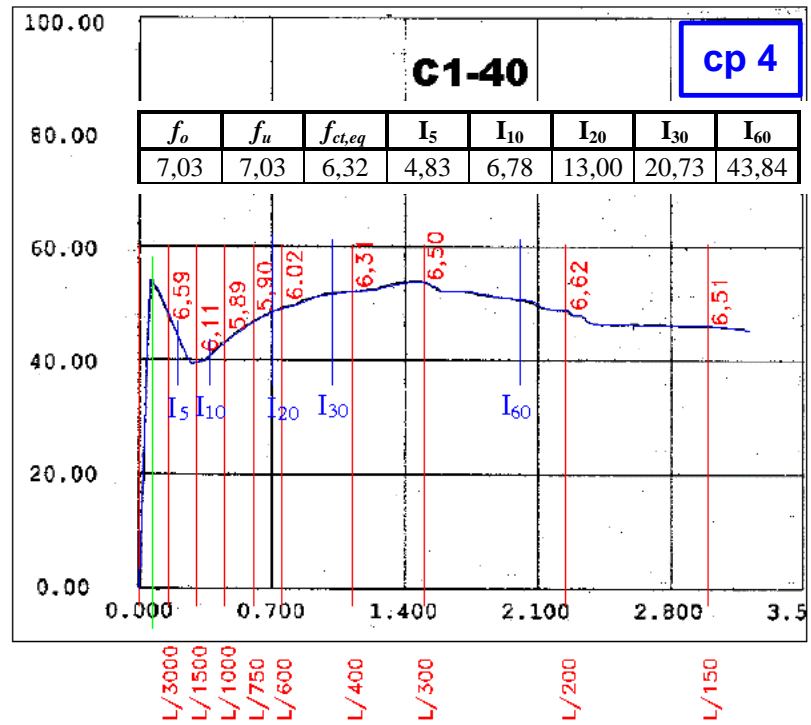
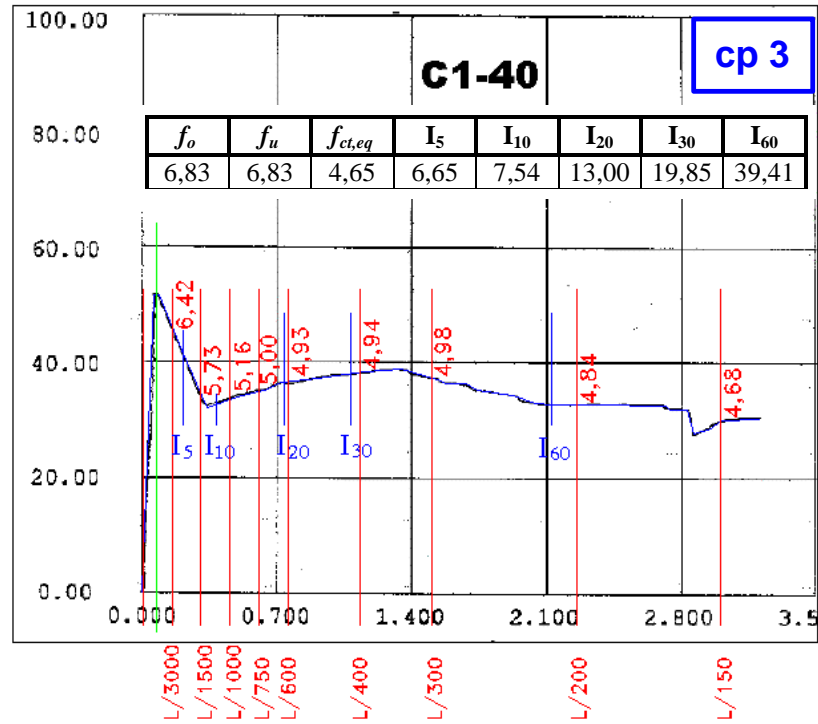


Fig. 5.12b - Diagrama **Força** (eixo y - kN) x **Deslocamento** (eixo x - mm) do compósito C1-40, com os fatores  $PCS_m$  e os índices de tenacidade  $I$ .

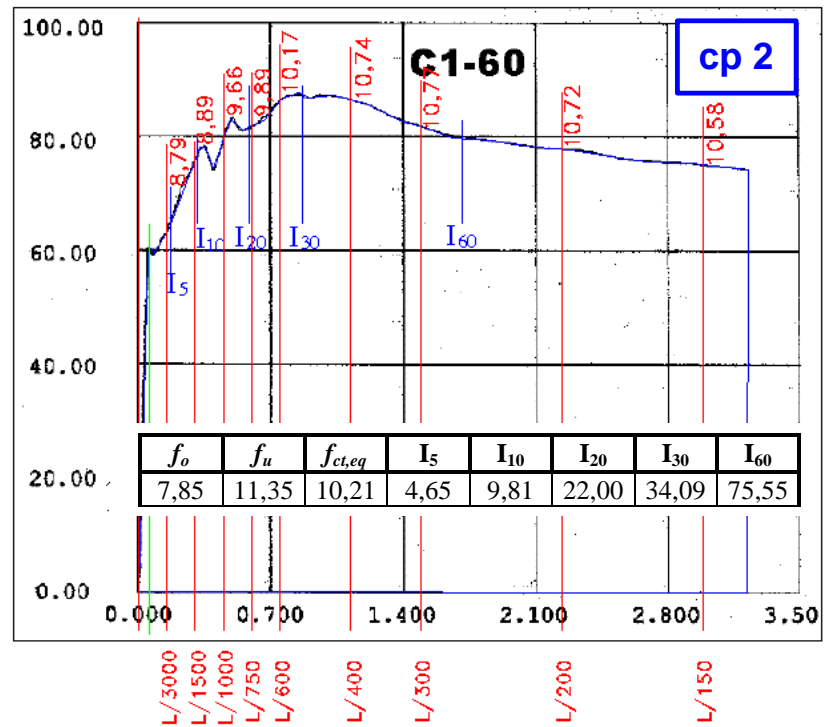
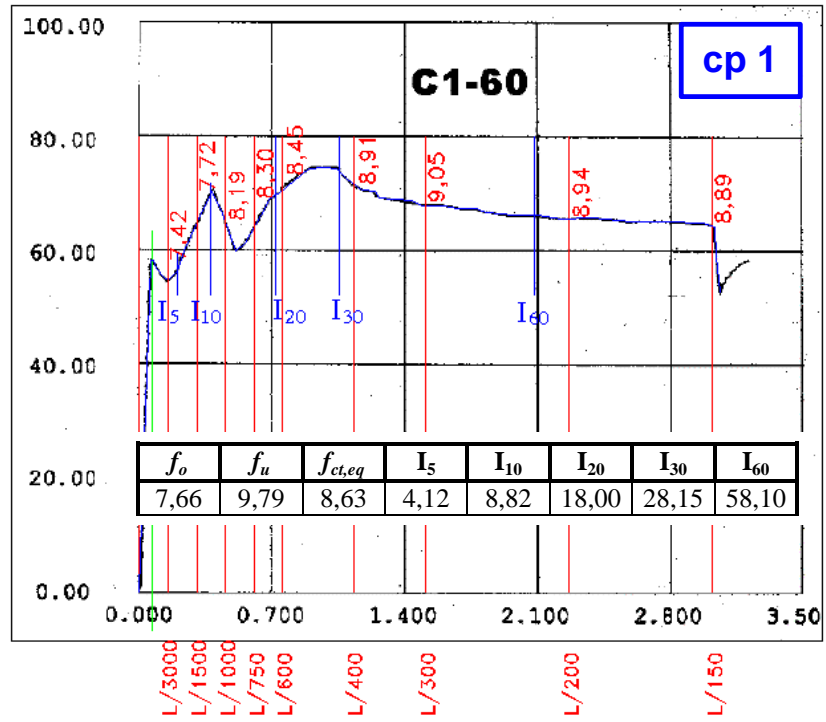


Fig. 5.13a - Diagrama **Força** (eixo y - kN) x **Deslocamento** (eixo x - mm) do compósito C1-60, com os fatores  $PCS_m$  e os índices de tenacidade  $I$ .

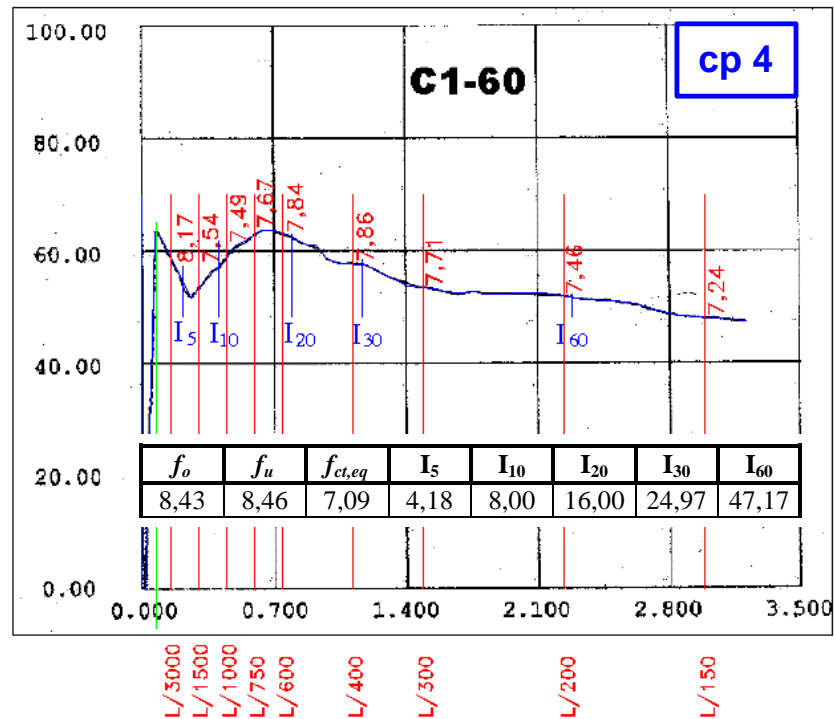
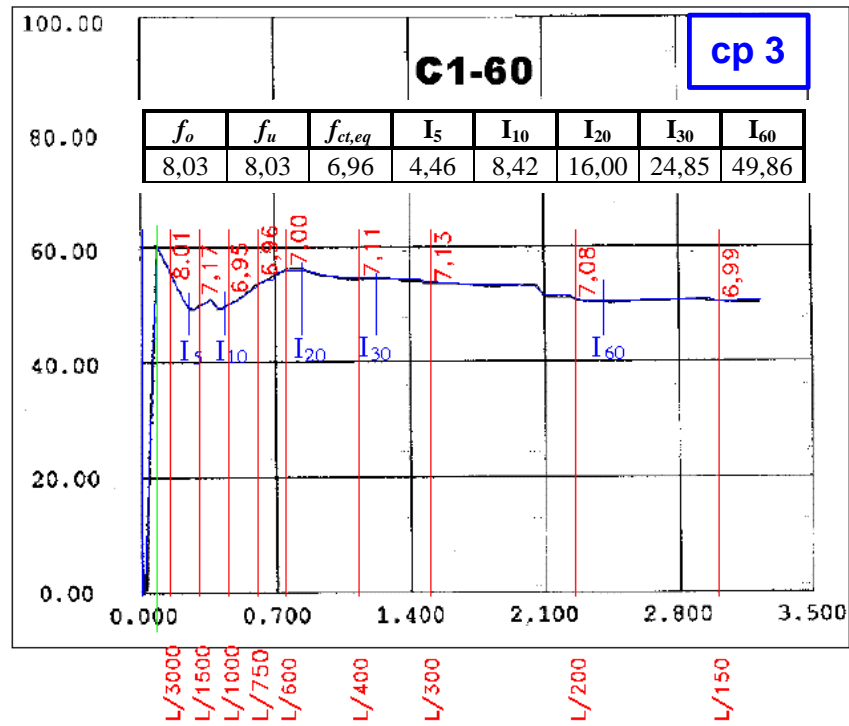


Fig. 5.13b - Diagrama **Força** (eixo y - kN) x **Deslocamento** (eixo x - mm) do compósito C1-60, com os fatores  $PCS_m$  e os índices de tenacidade  $I$ .

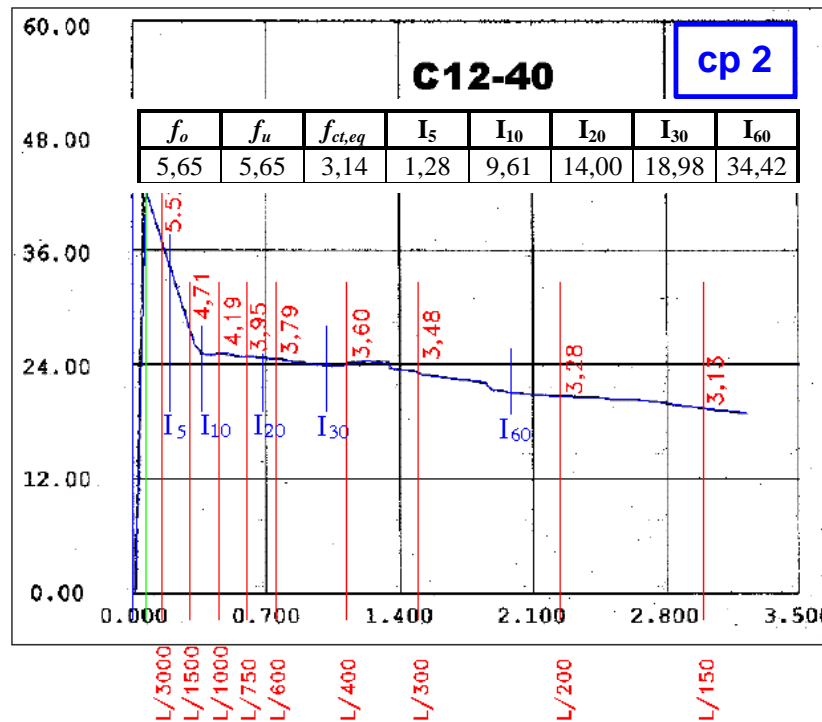
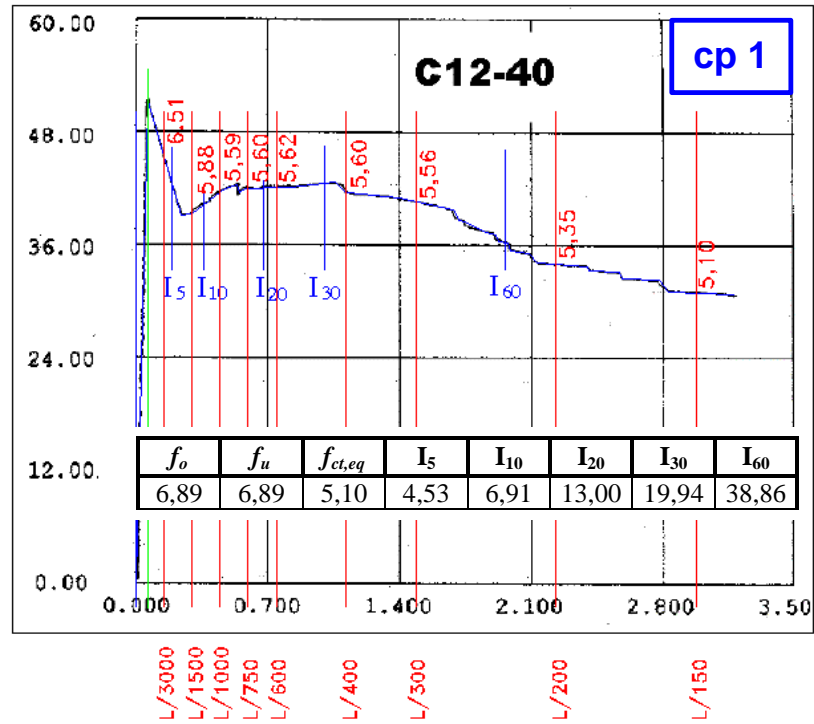


Fig. 5.14a - Diagrama **Força** (eixo y - kN) x **Deslocamento** (eixo x - mm) do compósito C12-40, com os fatores  $PCS_m$  e os índices de tenacidade  $I$ .

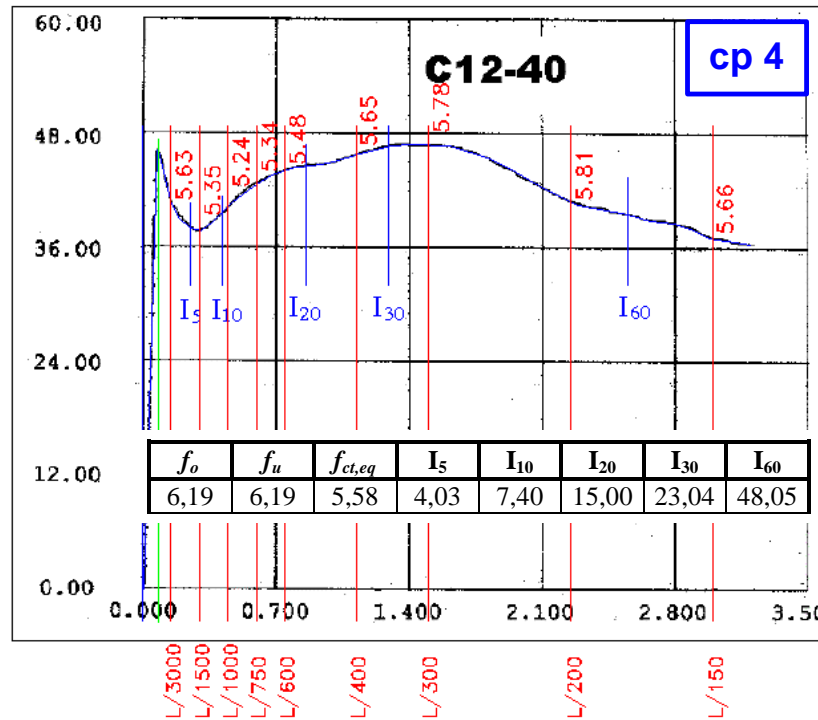
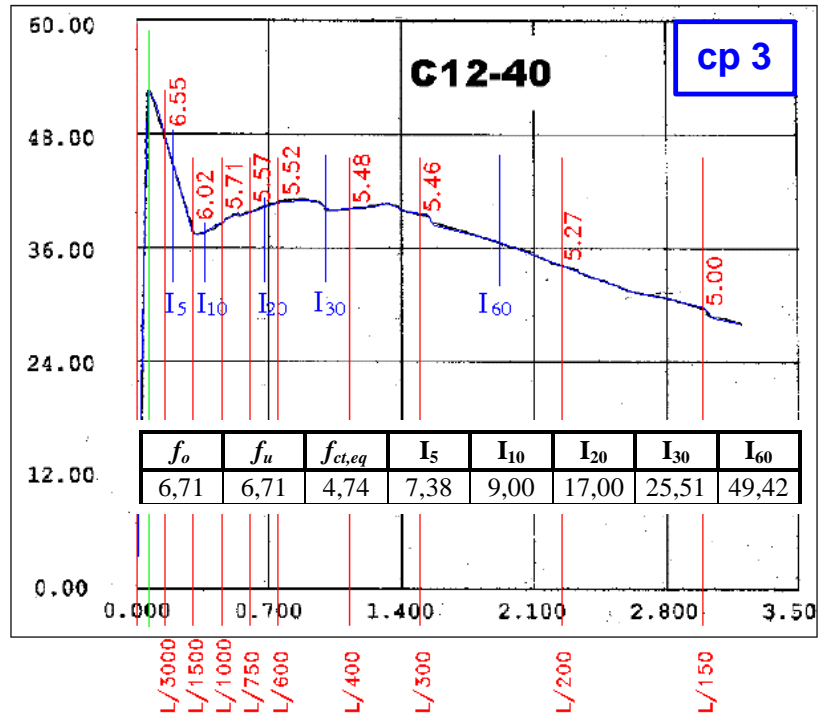


Fig. 5.14b - Diagrama **Força** (eixo y - kN) x **Deslocamento** (eixo x - mm) do compósito C12-40, com os fatores  $PCS_m$  e os índices de tenacidade  $I$ .

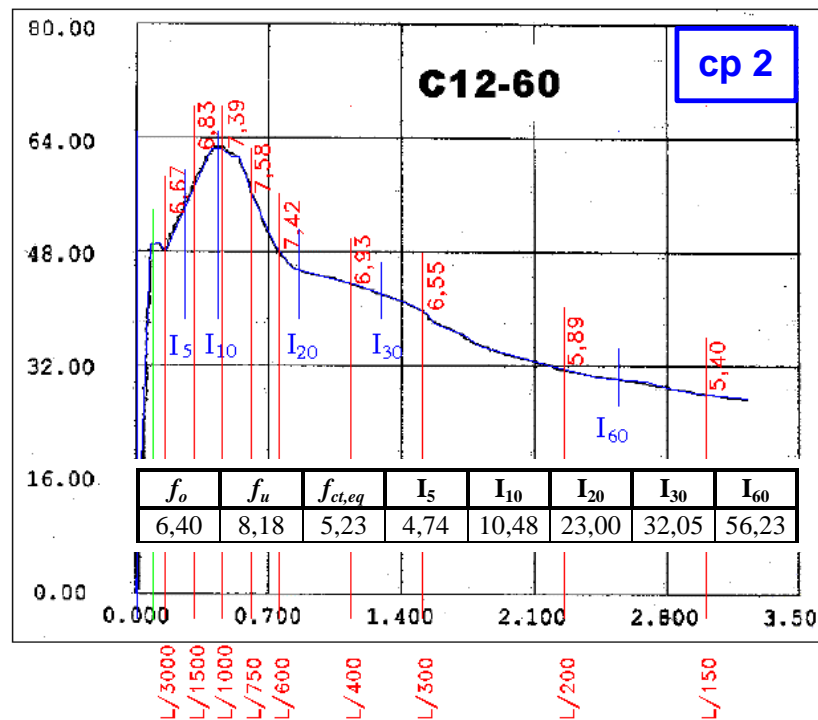
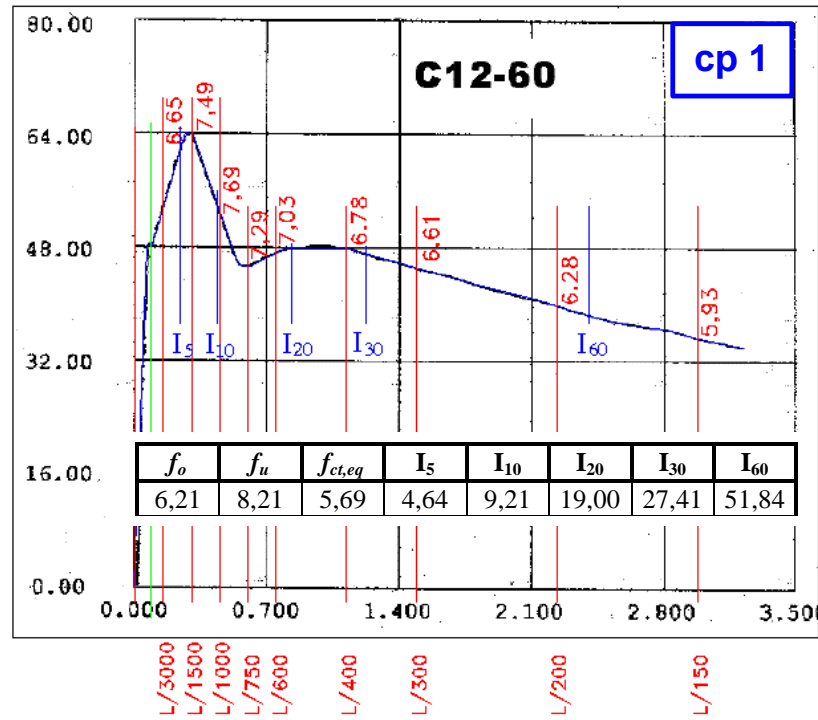


Fig. 5.15a - Diagrama **Força** (eixo y - kN) x **Deslocamento** (eixo x - mm) do compósito C12-60, com os fatores  $PCS_m$  e os índices de tenacidade  $I$ .

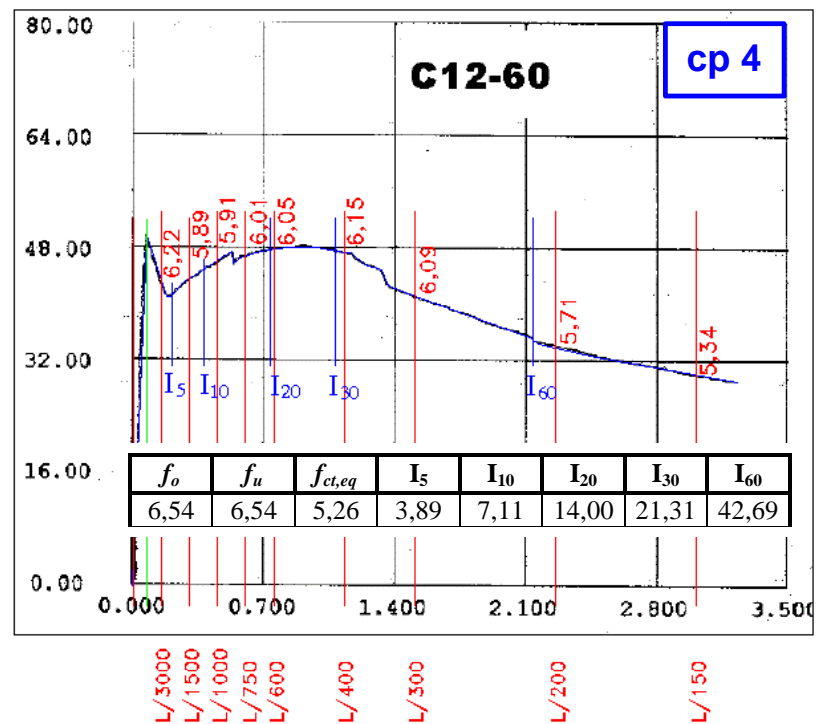
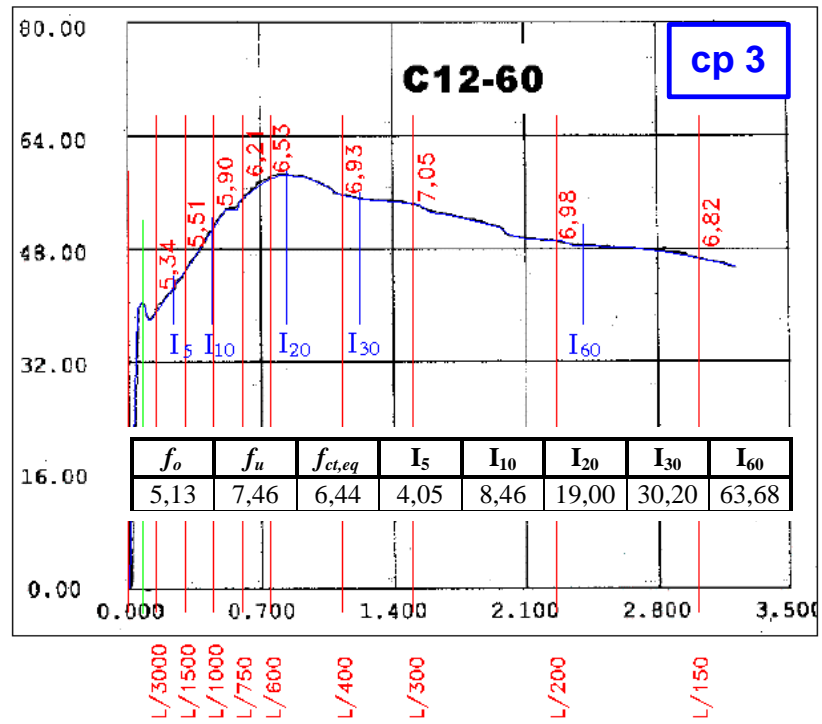


Fig. 5.15b - Diagrama **Força** (eixo y - kN) x **Deslocamento** (eixo x - mm) do compósito C12-60, com os fatores  $PCS_m$  e os índices de tenacidade  $I$ .